

## ماگماتیسزم اردوویسین-دونین در شمال شاهرود: شاهدی بر کافت‌زایی طولانی مدت پالئوتتیس در البرز شرقی

مرتضی درخشی و حبیب‌اله قاسمی \*

گروه پتروولوژی و زمین‌شناسی اقتصادی، دانشکده علوم زمین، دانشگاه صنعتی شاهرود، شاهرود، ایران

### چکیده

یکی از ویژگی‌های واحدهای سنگی اردوویسین تا دونین در نواحی شمال شاهرود، حضور حجم زیادی از سنگ‌های آذرین با ترکیب بازالتی به شکل دایک، سیل و گدازه در درون آنها است. بیشترین حجم این سنگ‌های آذرین به طور عمده در مجموعه بازالتی سلطان‌میدان قرار دارد که با ضخامتی در حدود ۱۰۰۰ متر به شکل جریان‌های متعدد گدازه بازالتی، آگلومرای بازالتی، توف و چندین میان‌لایه رسوبی در بازه زمانی اردوویسین فوقانی تا ابتدای سیلورین پایانی تشکیل شده است. تکتونیک کششی فعال حاکم بر منطقه و ایجاد گسیختگی‌های شدید در سنگ‌کره قاره‌ای در این بازه زمانی منجر به کاهش ناگهانی فشار وارد بر ستون‌های گوشته‌ای در حال صعود و فراهم شدن شرایط برای ذوب بخشی وسیع و ایجاد حجم زیاد ماگمای بازالتی شده است. شواهد ژئوشیمیایی نشان می‌دهد که ماگماهای بازالتی ایجاد شده در بازه زمانی اردوویسین-دونین دارای ماهیت انتقالی تا آکالن است و از یک ستون گوشته‌ای غنی شده در حال صعود در یک جایگاه کششی کافت درون قاره‌ای برخاسته‌اند. ماهیت و جایگاه زمین‌ساختی این ماگماتیسزم بازالتی طی پالئوزوئیک زیرین-میانی بیانگر تداوم حرکات کششی طولانی مدت مرتبط با مراحل آغازین کافت‌زایی پالئوتتیس در شمال ایران است.

واژه‌های کلیدی: بازالت، پالئوزوئیک زیرین-میانی، کافت درون قاره‌ای، پالئوتتیس، شاهرود، البرز

### مقدمه

نتیجه برخورد ابر قاره‌های گندوانا و اورازیا و پس از بسته شدن اقیانوس پالئوتتیس شکل گرفته‌اند (Sengör et al., 1988).

یکی از ویژگی‌های منطقه بررسی شده، وجود توالی ضخیمی از نهشته‌های پالئوزوئیک زیرین-میانی مشتمل بر سازندهای لشکرک، قلی، سلطان‌میدان، پادها و خوش‌یلاق است که حجم

در تقسیمات پهنه‌های زمین‌شناسی-ساختاری ایران (Stocklin, 1968) منطقه بررسی شده در بخش غربی پهنه البرز شرقی در مناطق شمال‌شرق تا شمال‌غرب شاهرود (شکل ۱) واقع شده است. کوه‌های البرز که با روند کلی شرقی-غربی در شمال ایران قرار دارد، به طور عمده در

(2011؛ 2013) Deyhimi، متعلق به دونین رخنمون دارد (شکل‌های ۱ و ۳). در این توالی‌های سنگی، برونزدهای به نسبت فراوانی از سنگ‌های آذرین بازیک به شکل دایک، سیل و روانه‌های گدازه دیده می‌شود.

قدیمی‌ترین فعالیت ماگمایی در منطقه بررسی شده را می‌توان به صورت یک روانه‌ای بازالتی به ضخامت حدود ۲۰ متر در سازند قلی (به سن اردوویسین پسین) در دره کلودر واقع در شمال روستای نکارمن مشاهده نمود (شکل ۳-A). ویژگی‌های سنگ‌شناسی، حضور فراوان آثار فسیلی و ساخت‌های رسوبی نظیر: چینه‌بندی متقاطع و ریپل‌مارک، بیانگر نهشته شدن این سازند در محیط دریایی است. با توجه به محیط دریایی تشکیل سازند قلی و نیز بافت بادامکی بازالت‌ها، این گدازه‌ها را باید از نوع گدازه‌های زیرآبی در نظر گرفت (Ghasemi and Kazemi, 2013). در این بازالت‌ها که متحمل درجات متوسط تا شدید دگرسانی شده‌اند، پلاژیوکلاز و کلینوپیروکسن نوع اوژیت کانی‌های اصلی را تشکیل داده و مهم‌ترین کانی‌های فرعی نیز شامل: الیوین، آپاتیت و کانی‌های اپاک است. به عقیده Ghasemi و Kazemi (۲۰۱۳) این بازالت‌ها دارای ماهیت قلیایی بوده و در جایگاه کافت درون قاره‌ای فوران نموده‌اند. علاوه بر روانه بازالتی یاد شده، در محدوده شمال روستای نکارمن و نیز شمال غرب روستای قلعه‌نوخرقان می‌توان سیل‌ها و دایک‌های فراوانی را در بخش‌های فوقانی سازند قلی مشاهده نمود که حضور آنها در ارتباط با فعالیت‌های ماگمایی جوان‌تر است.

سازند قلی در منطقه بررسی شده به وسیله توالی ضخیمی از سنگ‌های بازالتی تحت عنوان مجموعه بازالتی سلطان‌میدان پوشیده می‌شود. این مجموعه حاصل انباشتگی جریان‌های متعدد گدازه

زیادی از سنگ‌های آذرین با ترکیب بازالتی در آنها حضور دارد (شکل‌های ۲ و ۳). حجم ماگماتیسم موجود در توالی‌های اردوویسین تا دونین در این بخش از البرز به حدی است که در برخی رخنمون‌ها، ضخامت سنگ‌های آتشفشانی (رخنمون سازند سلطان‌میدان در چشمه سید در شمال غرب روستای قلعه‌نوخرقان در شمال شاهرود، شکل‌های ۲ و ۳-B) به بیش از ۱۲۰۰ متر می‌رسد و می‌توان گفت که شدیدترین فعالیت ماگمایی ایران طی پالئوزوئیک زیرین تا میانی در این بخش از البرز رخ داده است.

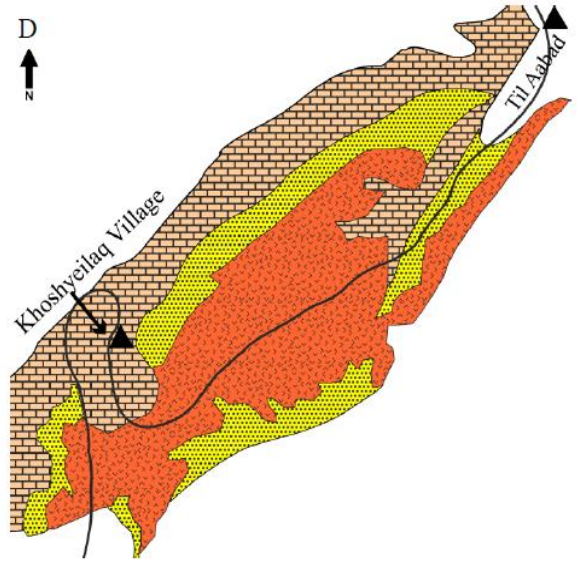
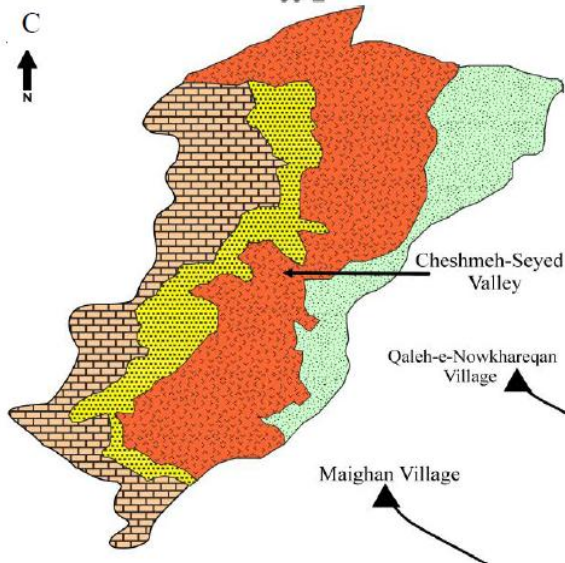
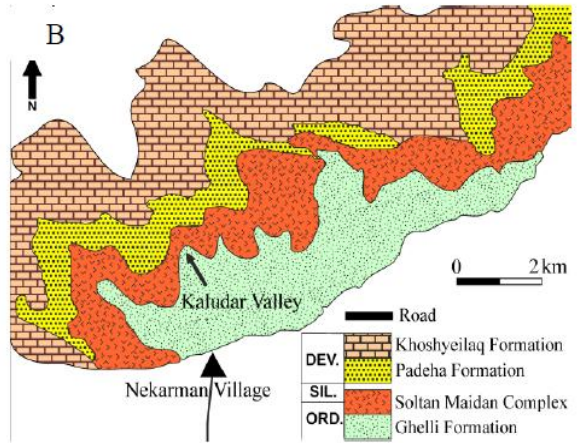
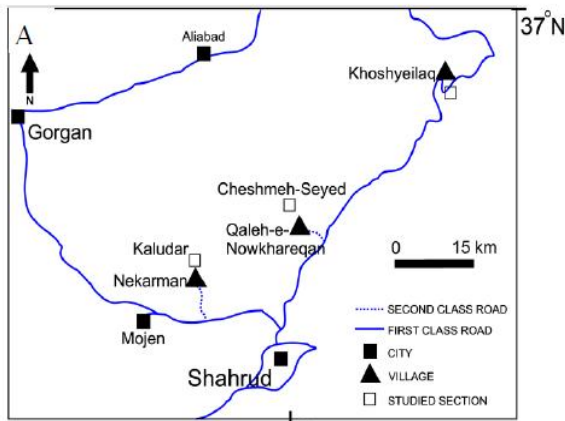
در این پژوهش به منظور بررسی دقیق ویژگی‌های ماگماتیسم پالئوزوئیک زیرین-میانی (اردوویسین تا دونین)، بعد از بازدیدهای دقیق صحرایی، سه رخنمون اصلی و مناسب شامل دره کلودر (واقع در شمال روستای نکارمن)، دره چشمه سید (واقع در شمال غرب روستای قلعه‌نوخرقان) و شرق روستای خوش‌یلاق (شکل ۱) انتخاب و بررسی شده و برداشت‌های صحرایی از آنها انجام شد. نقشه زمین‌شناسی ساده شده و ستون چینه‌شناسی مناطق یاد شده در شکل‌های ۱ و ۲ آمده است.

### زمین‌شناسی منطقه

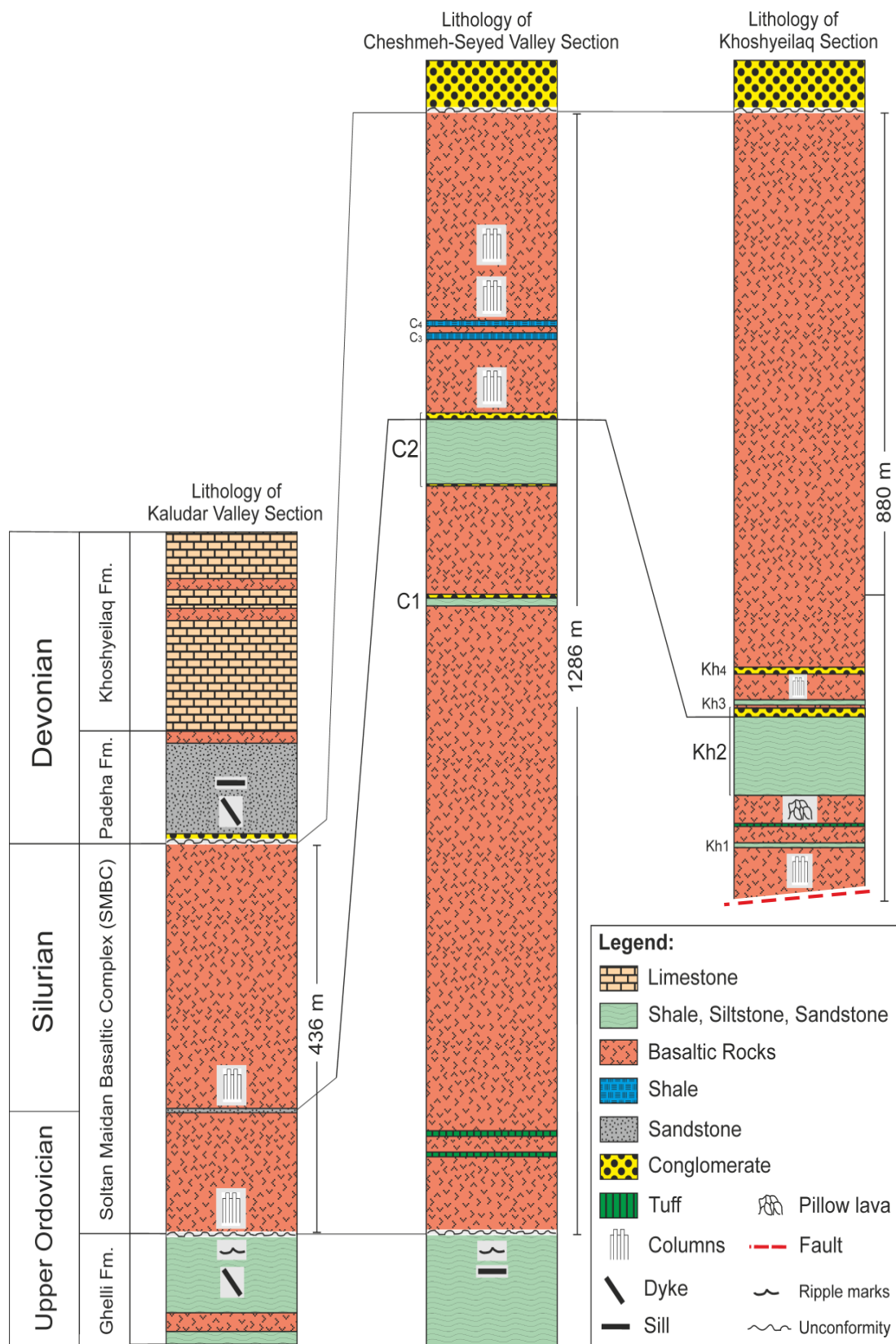
در نواحی شمال شرق تا شمال غرب شاهرود (حد فاصل بین روستاهای تیل‌آباد در شرق تا نکارمن در غرب)، رخنمون‌های نا پیوسته‌ای از واحدهای سنگی اردوویسین تا دونین شامل: سازندهای لشکرک و قلی (Ghavidel-Syooki and Khandabi, 2013؛ Kazemi, 2013) متعلق به اردوویسین، مجموعه بازالتی سلطان‌میدان (Jafarian *et al.*, 2010؛ Sahami, 2012) متعلق به سیلورین و سازندهای پاده‌ها و خوش‌یلاق (Aharipour,

بازالتی، آگلومرای بازالتی، توف و چندین میان‌لایه رسوبی (شامل: شیل و سیلتستون‌های سبز رنگ، ماسه‌سنگ و کنگلومرا) است (شکل ۲) که در طول دوره فعالیت ماگمایی بر روی هم انباشته شده‌اند. ویژگی صفحه‌ای بودن روانه‌های گدازه سبب شده است تا به توان مرز همشیب این روانه‌های گدازه با رسوبات زیرین (سازند قلی)، و نیز پوشیده شدن آن با مرز ناپیوسته فرسایشی (همراه با کنگلومرای قاعده‌ای) توسط سازند پادها را در رخنمون‌های مختلف به وضوح مشاهده نمود (شکل ۳). اندازه‌گیری دقیق ضخامت مجموعه

بازالتی، آگلومرای بازالتی، توف و چندین میان‌لایه رسوبی (شامل: شیل و سیلتستون‌های سبز رنگ، ماسه‌سنگ و کنگلومرا) است (شکل ۲) که در طول دوره فعالیت ماگمایی بر روی هم انباشته شده‌اند. ویژگی صفحه‌ای بودن روانه‌های گدازه سبب شده است تا به توان مرز همشیب این روانه‌های گدازه با رسوبات زیرین (سازند قلی)، و نیز پوشیده شدن آن با مرز ناپیوسته فرسایشی (همراه با کنگلومرای قاعده‌ای) توسط سازند پادها را در رخنمون‌های مختلف به وضوح مشاهده نمود (شکل ۳). اندازه‌گیری دقیق ضخامت مجموعه



شکل ۱- (A) موقعیت جغرافیایی؛ (B) نقشه زمین‌شناسی ساده شده از رخنمون‌های اصلی بررسی شده در محدوده شمال روستای نکارمن؛ (C) غرب و شمال غرب قلعه نوخرقان؛ (D) منطقه خوش‌بیلاق



شکل ۲- ستون چینه‌شناسی واحدهای سنگی اردوویسین تا دونین در رخنمون‌های دره کلودر، دره چشمه سید و شرق روستای خوش‌بیلاق؛ سازندهای قلی، پادها و خوش‌بیلاق بدون مقیاس است.

و C2 در شمال غرب قلعه‌نوخرقان (دره چشمه سید) انجام شد و از آنها تعداد یازده عدد مقطع میکروسکوپی تهیه گردید. بررسی پالینومرف‌های موجود در این شیل‌ها نشان‌دهنده حضور فراوان پالینومرف‌های متعلق به بازه زمانی کیتین-هیرنانتین (Katian-Hirnantian) بوده و تشکیل این واحدهای شیلی را طی اردوویسین فوقانی نشان می‌دهد. تعیین سن انجام شده توسط Ghavidel-Syooki و همکاران (۲۰۱۱) بر روی شیل‌های هم‌ارز این واحد شیلی در منطقه خوش‌یلاق (واحد Kh2 در شکل ۲ و شکل ۳-C) نیز نشان‌دهنده نهشته شدن آنها طی اردوویسین فوقانی است. همچنین، مطالعه دقیق یک میان‌لایه شیلی (واحد Kh3 در شکل ۲) واقع در بالای اولین واحد کنگلومرای حاوی قطعات درشت گرانیتوئیدی در منطقه خوش‌یلاق توسط Ghavidel-Syooki و همکاران (۲۰۱۱)، نشان‌دهنده سن سیلورین برای آن است. به عقیده ایشان مجموعه بازالتی سلطان‌میدان دارای سنی جوان‌تر از ابتدای سیلورین پایانی نیست.

از آنجایی که واحدهای شیلی مشابهی بر روی افق کنگلومرای یاد شده در دره چشمه سید حضور دارد (واحدهای C3 و C4 در شکل ۲ و شکل ۳-B) می‌توان با انجام انطباق، سن سیلورین را برای بخش‌های فوقانی توالی سنگی سلطان‌میدان در دره چشمه سید نیز منظور کرد. به دلیل قرار گرفتن در بین دو افق رسوبی حاوی پالینومرف‌های با سن مشخص، می‌توان سن اردوویسین فوقانی تا ابتدای سیلورین پایانی را برای تشکیل این مجموعه بازالتی در نظر گرفت. به این ترتیب، باید کنگلومرای حاوی قطعات

پتروگرافی این مجموعه بازالتی نشان می‌دهد که کانی‌های اصلی تشکیل‌دهنده آن شامل: پلاژیوکلاز و کلینوپیروکسن (اوژیت و تیتانواوژیت) بوده و در برخی از روانه‌ها نیز می‌توان الیوین و گاهی ارتوپیروکسن را به صورت کانی‌های فرعی مشاهده نمود. این سنگ‌ها به لحاظ پتروگرافی دارای ترکیب کلی بازالت تا آندزیت بازالتی بوده و کلریتی و اپیدوتی شدن، به ترتیب شایع‌ترین دگرسانی‌های رخ داده در این مجموعه است.

به طور کلی، در نقشه‌های زمین‌شناسی منطقه و نیز منابع مختلف، سن سنگ‌های آتشفشانی مجموعه بازالتی سلطان‌میدان به سیلورین نسبت داده شده است. همانگونه که در قبل عنوان شد، حضور برخی میان‌لایه‌های رسوبی شیلی سبز رنگ، یکی از ویژگی‌های بیشتر رخنمون‌های این مجموعه بازالتی در منطقه بررسی شده است. شیل‌های موجود در بخش‌های میانی این مجموعه در دره چشمه سید (واحدهای C1 و C2 در شکل ۲ و شکل ۳-C) حاوی پالینومرف‌ها و براکیوپودهایی متعلق به اردوویسین فوقانی، هستند که نشان‌دهنده نهشته شدن آنها در محیط دریایی کم عمق است.

این واحدهای شیلی، در زیر یک واحد کنگلومرای به ضخامت ۷ متر قرار گرفته‌اند که علاوه بر قطعاتی از ماسه‌سنگ‌ها و بازالت‌های زیرین، حاوی قطعات درشت صورتی و سفید رنگ گرانیتوئیدی است که به عنوان یک لایه کلیدی در بسیاری از رخنمون‌های مجموعه بازالتی سلطان‌میدان حضور دارد (شکل ۲).

به منظور مطالعه پالینومرف‌های موجود در رسوبات شیلی، نمونه‌برداری از دو واحد شیلی C1

روستای میغان به خوبی دید (شکل ۳-D). روانه‌های بازالتی دونین در دره کلودر شامل: یک روانه به ضخامت حدود ۱۵ متر در سازند پادها و دو روانه هر کدام به ضخامت حدود ۱۰ متر در سازند خوش‌ییلاق است (شکل ۲).

این گدازه‌ها دارای ترکیب بازالتی و الیوین‌بازالتی بوده و دایک‌ها و سیل‌ها نیز ترکیب میکروگابرویی دارد. همچنین، روانه بازالتی واقع در شمال روستای میغان نیز به ضخامت حدود ۴۰ متر در فوقانی‌ترین بخش سازند پادها دیده می‌شود (شکل ۳-D). به طور کلی، پلاژیوکلاز و کلینوپیروکسن نوع اوژییتی (به همراه تیتان اوژییت) کانی‌های اصلی بازالت‌های دونین منطقه را تشکیل داده و مهم‌ترین کانی‌های فرعی آنها نیز الیوین، آپاتیت و کانی‌های اپاک است. به نظر Deyhimi (۲۰۱۳) این بازالت‌ها دارای ماهیت آکالان و در یک محیط کششی مرتبط با کافت درون قاره‌ای فوران نموده‌اند.

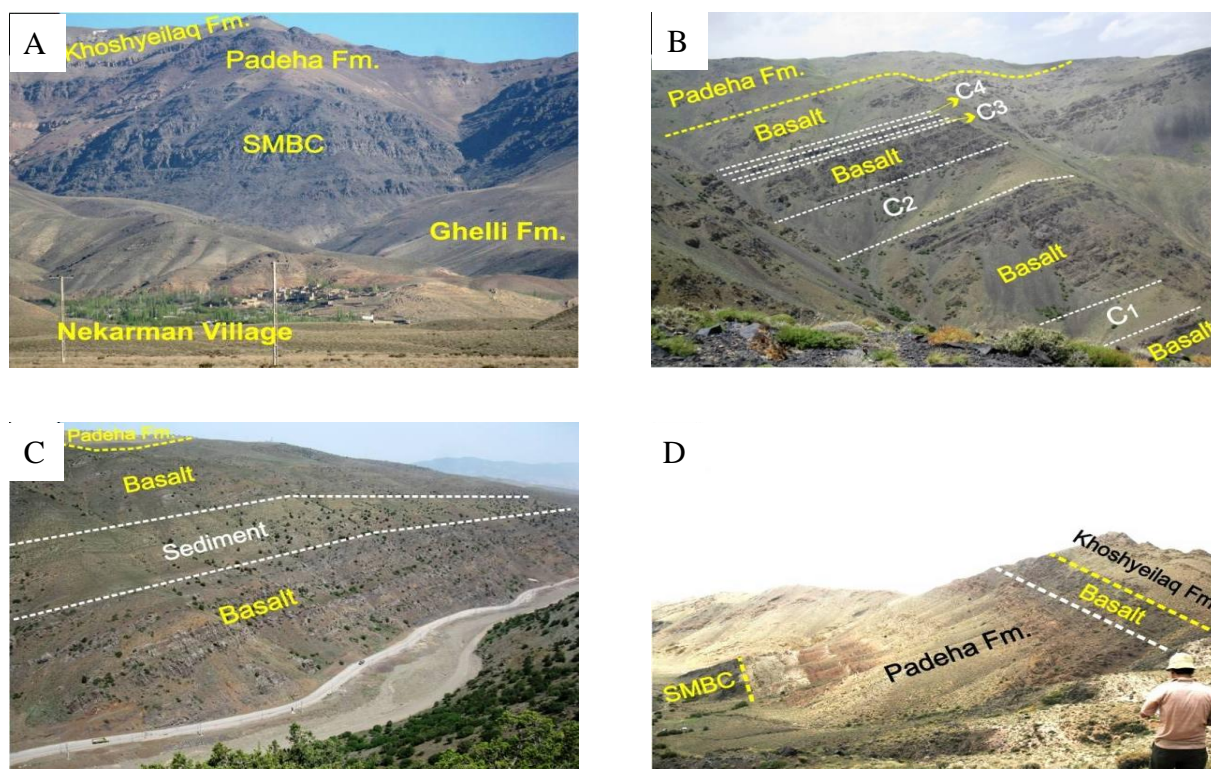
### روش انجام پژوهش

به منظور مطالعه ژئوشیمی سنگ‌های بازالتی منطقه بررسی شده، تعداد هفت نمونه با کمترین میزان دگرسانی از بازالت‌های موجود در سازند قلی، بیست و سه نمونه از بازالت‌های مجموعه سلطان‌میدان و ده نمونه از بازالت‌های موجود در سازندهای پادها و خوش‌ییلاق انتخاب و در آزمایشگاه SGS کانادا با روش بسته ترکیبی ICP-AES برای عناصر اصلی، مواد فرار و برخی از عناصر نادر (شامل: Ba, Sr, Y, Zn و Zr) و با روش ICP-MS برای عناصر نادر خاکی و سایر عناصر نادر تجزیه شیمیایی شدند (جدول ۱).

درشت‌گرانی‌تئوئیدی که در دره چشمه سید و منطقه خوش‌ییلاق به ترتیب در رأس واحدهای شیلی C2 و Kh2 قرار گرفته است (شکل ۲) را مرز زمانی گذر از اردوویسین به سیلورین در مجموعه بازالتی سلطان‌میدان در نظر گرفت. همچنین، شواهد مختلف از قبیل حضور میان‌لایه‌های شیلی-سیلتستونی سبز رنگ و حاوی پالینومرف‌های دریایی و براکیوپوده‌ها، گدازه‌های بالشی، ساخت منشوری و حضور میان‌لایه‌های نازک ماسه‌سنگی قرمز رنگ رودخانه‌ای در بخش‌های مختلف مجموعه بازالتی سلطان‌میدان بیانگر تشکیل این مجموعه در دو محیط متفاوت زیر آبی و خشکی در زمان‌های مختلف است که گویای وضعیت نا آرام منطقه در خلال کافت‌زایی است.

واحدهای رسوبی دونین در منطقه بررسی شده شامل: سازندهای پادها و خوش‌ییلاق است. سازند پادها به سن دونین زیرین-میانی با یک ناپیوستگی فرسایشی هم‌شیب و کنگلومرای قاعده‌ای بر روی مجموعه بازالتی سلطان‌میدان قرار گرفته و با مرز ناپیوسته فرسایشی توسط سازند خوش‌ییلاق به سن دونین میانی-فوقانی پوشیده می‌شود. تداوم فعالیت ماگمایی بازیک در منطقه بررسی شده را البته با حجم بسیار کمتر نسبت به مجموعه سلطان‌میدان، می‌توان در واحدهای سنگی دونین نیز مشاهده کرد. این سنگ‌های آذرین بازیک که همانند سنگ‌های بازالتی موجود در واحدهای سنگی قدیمی‌تر متحمل درجات دگرسانی متوسط تا شدید شده‌اند را می‌توان به اشکال دایک، سیل و گدازه در محدوده شمال روستای نکارمن و نیز در شمال





شکل ۳- A) نمایی کلی از توالی کامل واحدهای سنگی اردوویسین تا دونین در دره کلودر، واقع در شمال روستای نکارمن؛ مجموعه بازالتی سلطان‌میدان به اختصار به صورت SMBC نشان داده شده است؛ B) نمایی کلی از بخش میانی-فوقانی مجموعه بازالتی سلطان‌میدان و بخش زیرین سازند پادها در دره چشمه سید، واقع در شمال غرب قلعه‌نوخرقان؛ حروف اختصاری C1 تا C4 میان‌لایه‌های رسوبی در بازالت‌های سلطان‌میدان است (توضیحات مربوطه در متن ارائه شده است)؛ C) نمایی کلی از بخش زیرین مجموعه بازالتی سلطان‌میدان در شرق روستای خوش‌بیلاق؛ در این تصویر حضور یک میان‌لایه رسوبی به ضخامت حدود ۱۰۰ متر (واحد Kh2 در توضیحات متن) نمایش داده شده است؛ D) نمایی از مرز ناپیوسته فرسایشی همشیب زیرین و فوقانی سازند پادها به ترتیب با بازالت‌های سلطان‌میدان و سازند خوش‌بیلاق و حضور یک روانه بازالتی به ضخامت حدود ۴۰ متر در فوقانی‌ترین بخش سازند پادها در شمال روستای میغان

جدول ۱- نتایج اولیه و بدون اصلاحات تجزیه شیمیایی سنگ‌های بازالتی در شمال روستای نکارمن، غرب و شمال غرب روستای قلعه‌نوخرقان و شرق روستای خوش‌بیلاق؛ بازالت‌های سازند قلی با نشانه A، بازالت‌های سلطان‌میدان با نشانه S و بازالت‌های دونین با نشانه D ارائه شده‌اند.

Sample	A1	A2	A3	A4	A5	A6	A7	S1	S2	S3	S4	S5	S6
SiO <sub>2</sub>	47.7	47.7	46.9	45.7	48	47.4	48.6	51.2	50.4	52.2	51.4	47.5	51.5
MgO	6.75	6.05	1.99	5.42	5.95	4.88	4.68	4.2	4.24	4.84	5.2	10.1	6.07
Fe <sub>2</sub> O <sub>3(0)</sub>	12.1	11.2	13.9	13.4	11.2	12.1	13.5	13.7	12.5	11.8	11.9	12.6	9.68
Al <sub>2</sub> O <sub>3</sub>	13.5	14.9	14.7	14.3	15.1	14.8	12.9	13.3	13.3	13.2	14	12.7	14.5
CaO	8.66	7.23	4.06	5.27	7.35	6.78	6.93	7.88	8.69	4.74	9.43	8.27	6.25
Na <sub>2</sub> O	2.7	3.5	5	4.3	3.7	3.9	3.2	2.7	2.5	5.1	2.5	1.8	3.5
K <sub>2</sub> O	1.23	2.19	2.18	1.22	1.4	1.38	0.13	0.86	0.81	0.2	0.95	0.99	1.11
TiO <sub>2</sub>	2.2	1.95	3.16	3.24	2.27	3.41	3.02	2.95	2.89	3	2.46	1.61	1.68
MnO	0.24	0.25	0.08	0.38	0.27	0.34	0.21	0.23	0.17	0.34	0.26	0.24	0.19
P <sub>2</sub> O <sub>5</sub>	0.3	0.26	0.45	0.53	0.32	0.53	0.38	0.48	0.45	0.44	0.3	0.16	0.19
LOI	2.08	2.27	5.13	3.31	2.42	2.66	2.98	1.88	2.11	2.59	1.4	3.39	3.72
Total	97.5	97.5	97.6	97.1	98.0	98.2	96.5	99.4	98.1	98.5	99.8	99.4	98.4
Ba	300	600	170	360	470	590	100	350	310	80	250	280	370
Sr	340	490	100	280	480	360	250	370	360	280	350	270	440
Hf	3	2	5	6	3	6	5	6	6	7	4	2	3
Nb	15	13	28	33	14	34	22	33	34	33	19	12	14
Ni	78	69	29	30	36	32	29	24	124	33	37	218	55
Rb	21.8	54.5	39.9	23.2	19	31.9	2.3	10.5	10.3	3.7	13.8	14.9	22.1
Ta	1	0.8	1.9	2.2	0.9	2.3	1.5	2	2.1	2.1	1.1	0.7	0.9

Th	1.5	1.6	3	4.9	1.6	4.6	3.1	5	5	4.9	2.1	1.2	3.3
U	0.38	0.37	0.69	1.14	0.4	1.1	0.82	1.13	1.13	1.05	0.51	0.31	0.85
V	229	229	313	335	262	337	324	315	318	324	264	221	212
Y	24.7	22.1	34.8	38.1	24.9	36.5	33	37.1	37.5	34.3	27.1	20.7	26
Zr	154	124	219	264	137	256	204	267	276	271	184	115	157
Co	43.9	42.7	22.6	40.4	39.2	37.6	37.4	36.7	30.3	38.1	38	55.3	33.8
Cs	0.5	0.5	1.5	1.1	0.5	0.4	0.9	0.6	0.3	0.2	0.2	1.3	0.9
La	16.2	12.9	27.3	30.8	14.7	30.5	24.4	35.8	34.8	29.3	18.2	12.8	17.3
Ce	38.1	30.7	61	69.7	33.5	70.3	52.5	76.5	76.7	67.9	42.7	28.4	40.8
Pr	5.04	4.1	7.9	9.09	4.59	9.15	6.79	9.79	9.82	8.64	5.93	3.84	5.28
Nd	21.9	18	33.5	36.5	20.3	38.5	29.8	37.4	37.1	34.2	24.3	16	22.2
Sm	5.4	4.6	7.7	8	5.2	8.4	7.1	8.7	8.5	7.9	6.3	4	5.5
Eu	1.83	1.5	2.08	2.34	1.8	2.5	2.62	2.53	2.64	2.08	2.2	1.47	1.79
Gd	5.55	5.04	8.02	8.02	5.46	8.32	7.45	8.8	8.6	8.03	6.8	4.45	5.81
Tb	0.84	0.74	1.22	1.26	0.85	1.26	1.17	1.31	1.38	1.17	1	0.72	0.89
Dy	4.78	4.41	6.8	7.02	4.98	7.23	6.46	7.65	7.61	6.89	5.59	4.53	5.46
Ho	0.95	0.83	1.4	1.46	0.99	1.43	1.31	1.48	1.49	1.35	1.07	0.85	1.07
Er	2.34	2.24	3.52	3.73	2.37	3.75	3.29	4.09	4.08	3.88	3	2.19	2.77
Tm	0.32	0.3	0.47	0.52	0.3	0.49	0.44	0.55	0.54	0.46	0.4	0.25	0.38
Yb	1.9	1.9	3.1	3.3	1.9	3.1	2.8	3.5	3.4	2.9	2.3	1.7	2.3
Lu	0.23	0.26	0.42	0.47	0.26	0.44	0.38	0.46	0.46	0.4	0.31	0.26	0.31

ادامه جدول ۱- ...

Sample	S7	S8	S9	S10	S11	S12	S13	S14	S15	S16	S17	S18	S19
SiO <sub>2</sub>	50.8	48.5	55.2	49.9	48.5	49.4	50.6	49.5	48.4	48.8	49.5	50.9	49.9
MgO	6.37	6.1	4.23	3.98	3.96	5.75	5.34	4.5	5.84	6.63	6.31	4.88	5.72
Fe <sub>2</sub> O <sub>3(t)</sub>	11.9	12.5	8.38	14.2	14.9	12	13.5	13.6	11.7	11.7	11.3	10.9	12.6
Al <sub>2</sub> O <sub>3</sub>	13.6	13.5	14.2	12.4	12.8	13.3	12.8	13	14.3	13.5	13.5	14.8	13.2
CaO	8.09	8.03	4.01	7.78	7.07	7.46	6.16	6.76	7.9	9.18	8.2	7.14	8.22
Na <sub>2</sub> O	3	2.6	5.9	2.9	2.7	3.3	3.4	3.9	3.5	2.7	3.3	2.8	2.6
K <sub>2</sub> O	0.83	1.26	0.18	0.43	1.24	0.92	1	0.66	1.1	0.77	1.17	1.5	0.82
TiO <sub>2</sub>	2.1	2.07	2.8	2.99	3.34	2.24	2.53	2.8	2.31	2.03	1.89	1.95	2.1
MnO	0.23	0.22	0.16	0.26	0.19	0.2	0.3	0.2	0.25	0.18	0.17	0.19	0.21
P <sub>2</sub> O <sub>5</sub>	0.21	0.19	0.29	0.48	0.48	0.25	0.26	0.38	0.27	0.21	0.2	0.22	0.21
LOI	2.66	2.61	2.92	2.56	2.44	2.34	2.36	2.73	2.88	1.99	2.53	2.38	2.23
Total	99.8	97.6	98.3	97.9	97.6	97.2	98.3	98.0	98.5	97.7	98.1	97.7	97.8
Ba	240	640	60	270	300	250	290	160	310	210	310	340	220
Sr	410	340	300	350	280	320	280	210	440	310	350	320	290
Hf	3	3	5	5	5	4	4	7	4	3	3	4	3
Nb	14	14	20	30	29	17	19	38	20	13	13	18	14
Ni	68	38	70	14	6	67	39	42	68	90	70	36	53
Rb	18.2	22.7	3	7.1	16.6	19.8	19.7	14.7	26.7	13.5	20.6	26.6	13
Ta	0.8	0.9	1.2	2.1	1.9	1.1	1.1	2.3	1.1	0.7	0.7	1	0.8
Th	1.6	1.7	2.3	4	3.9	2	2.1	4.8	1.7	1.2	1.4	3	1.4
U	0.51	0.3	0.62	1.04	0.87	0.58	0.59	1.26	0.49	0.32	0.46	0.81	0.35
V	253	258	312	268	311	274	307	295	284	246	246	241	267
Y	26.8	28.1	34.5	36.1	36.6	28.7	30.4	37.5	25.6	24.3	23.5	28.4	26.1
Zr	153	151	204	254	235	177	188	288	176	148	136	171	152
Co	41.8	43.9	68	34.6	39	40.7	43.2	38	41.6	44.1	39.7	37.9	42.5
Cs	0.2	0.7	0.1	0.3	0.1	0.2	0.2	0.2	1	0.2	0.5	0.4	0.2
La	14.2	14	17.2	32.8	30.6	18.8	20.1	40.9	18.7	14.7	14.4	21.3	16.5
Ce	32.4	32.2	43.8	71	66.5	43.4	44	86.8	42.7	33.9	32.9	47	37.1
Pr	4.46	4.49	5.97	9.18	8.68	5.81	6.21	10.8	5.61	4.87	4.69	6.28	5.12
Nd	18.5	18.8	23.5	35.9	34.2	24.2	25	40.3	23	20	18.8	24.3	21.1
Sm	4.9	5.7	7	8.3	8.5	6	6.5	9.2	5.6	5.1	5	6.5	5.5
Eu	1.8	1.74	2.5	3.12	2.75	2.11	2.19	3.02	1.85	1.8	1.68	2.07	1.89
Gd	5.77	6.07	7.19	8.92	8.06	6.53	6.79	9.32	6.14	5.43	4.91	6.21	5.71
Tb	0.94	0.96	1.18	1.38	1.32	1.04	1.11	1.3	0.94	0.86	0.81	0.96	0.92
Dy	5.62	5.62	6.87	7.36	7.6	6.13	6.46	7.56	5.19	5.18	4.92	5.71	5.28
Ho	1.03	1.1	1.38	1.46	1.48	1.13	1.23	1.54	0.98	1.07	0.93	1.17	1.07
Er	2.8	2.85	3.29	3.79	3.71	3.14	3.3	4.15	2.8	2.65	2.73	2.96	2.48
Tm	0.34	0.41	0.48	0.48	0.54	0.41	0.45	0.56	0.39	0.34	0.33	0.45	0.36
Yb	2.1	2.4	2.6	3	3.2	2.5	2.7	3.4	2.2	1.9	2	2.5	2.2
Lu	0.3	0.33	0.38	0.45	0.49	0.31	0.34	0.47	0.27	0.32	0.29	0.31	0.33



ادامه جدول ۱- ...

Sample	S20	S21	S22	S23	D1	D2	D3	D4	D5	D6	D7	D8	D9	D10
SiO <sub>2</sub>	49.4	55	48	52.4	45.6	47.7	44.3	46.4	45	47.8	44.3	47.9	46.3	46.4
MgO	5.87	3.64	4.78	4.37	2.94	3.42	5.12	6.85	5.03	5.34	4.72	4.18	6.11	4.86
Fe <sub>2</sub> O <sub>3(0)</sub>	11.3	11	14.7	11	11.9	12.2	16.1	10.6	13.4	12.1	14.1	13.7	11.9	13.8
Al <sub>2</sub> O <sub>3</sub>	13.4	13.4	12.6	14.4	15.2	15.1	13.3	14.4	13.2	13.2	13.2	13.7	14.1	13.3
CaO	7.76	6.69	9.03	6.67	8.75	7.84	7.21	7.9	8.67	5.87	7.78	6.77	9.45	6.76
Na <sub>2</sub> O	4.3	2.9	2.3	4.4	3	3.2	2.3	3.2	3.5	3	4.1	3.5	2.8	3.1
K <sub>2</sub> O	0.34	1.64	0.13	0.95	1.09	1.03	0.52	0.8	0.98	1.03	0.54	1.46	0.78	1.09
TiO <sub>2</sub>	1.83	2.07	3.16	1.74	2.86	2.84	2.96	2.1	3.42	3.13	3.68	2.73	2.32	3.16
MnO	0.19	0.16	0.22	0.19	0.19	0.13	0.24	0.23	0.2	0.14	0.22	0.2	0.16	0.13
P <sub>2</sub> O <sub>5</sub>	0.16	0.23	0.41	0.25	0.42	0.44	0.66	0.22	0.92	0.75	1.05	0.37	0.2	0.76
LOI	2.84	1.7	2.46	2.16	5.27	3.26	3.75	4.57	3.12	3.93	2.57	1.76	2.52	2.96
Total	97.4	98.4	97.8	98.5	97.2	97.2	96.5	97.3	97.4	96.3	96.3	96.3	96.6	96.3
Ba	90	390	110	450	430	410	270	200	320	370	180	350	180	380
Sr	240	300	270	340	730	740	310	230	460	300	420	210	250	310
Hf	3	4	5	5	6	6	4	4	5	5	5	5	4	4
Nb	12	17	29	20	38	38	25	17	35	34	36	33	18	34
Ni	41	27	27	40	66	62	74	69	25	12	21	23	56	10
Rb	5.8	38.1	1.1	15	25.9	24	10.7	14.4	15.3	20.7	11.1	32.4	15	22.4
Ta	0.6	1.1	1.8	1.2	2.4	2.4	1.6	1.2	2.3	2.1	2.1	2.1	1.1	3.3
Th	1.5	4.9	2.6	2.4	3.7	3.8	2.2	1.8	2.6	3.4	2.7	3.6	1.9	3.4
U	0.38	1.29	0.62	0.63	0.82	0.79	0.49	0.39	0.7	0.75	0.7	0.8	0.41	0.74
V	233	259	325	174	142	148	231	257	292	216	299	297	287	216
Y	23.8	31.1	34.4	31.3	23.6	24.1	31.9	22.5	33.1	34.8	35.7	35.6	24.4	35.1
Zr	129	190	212	204	208	212	171	141	204	173	205	200	137	173
Co	38.5	32	37.5	28.8	47	43.4	48	46.3	36.7	36.4	35.7	43.9	46.2	36.1
Cs	0.2	0.4	0.8	0.2	0.3	0.4	0.2	0.6	0.4	1.2	0.4	0.5	0.4	0.9
La	13.6	28.1	27.9	23.3	33	34	25.4	15.8	30.6	31.9	34.6	26.8	15.8	32.4
Ce	30	57.4	62.2	51.3	69.4	70.7	57.4	34.9	68.5	67	75.4	57.7	35.9	67.6
Pr	4.25	7.44	8.17	6.9	9.06	9.11	7.76	4.58	9	8.81	9.86	7.38	4.73	8.74
Nd	17.5	27.7	33.3	26.8	38.1	37.6	34	19.7	38.9	36.1	41.9	31.4	20	36.3
Sm	4.7	6.9	8.2	7.3	8.2	8.2	7.9	4.8	8.6	8.3	9.2	7	5.1	8.1
Eu	1.7	2.04	2.78	2.32	2.78	2.87	2.91	1.71	3.11	3.12	3.29	2.32	1.74	3.08
Gd	5.1	6.84	8.63	7.96	7.43	7.57	8.27	5.05	8.46	8.51	9.29	7.94	5.3	8.27
Tb	0.76	1.06	1.29	1.14	1.04	1.01	1.18	0.78	1.24	1.24	1.29	1.21	0.82	1.18
Dy	5.06	6.3	7.21	6.93	5.44	5.26	6.86	4.53	6.9	7.07	7.31	7.07	4.69	6.97
Ho	0.91	1.21	1.43	1.34	0.88	0.91	1.22	0.86	1.31	1.36	1.43	1.4	0.89	1.35
Er	2.4	3.47	3.84	3.38	2.29	2.3	3.37	2.31	3.45	3.71	3.72	3.8	2.67	3.72
Tm	0.34	0.5	0.47	0.52	0.27	0.23	0.4	0.27	0.43	0.49	0.46	0.49	0.32	0.47
Yb	2.1	2.7	3.1	2.9	1.7	1.7	2.7	2	2.9	3.2	3.1	3.4	2.2	3
Lu	0.28	0.39	0.46	0.37	0.27	0.23	0.34	0.27	0.4	0.45	0.43	0.46	0.3	0.41

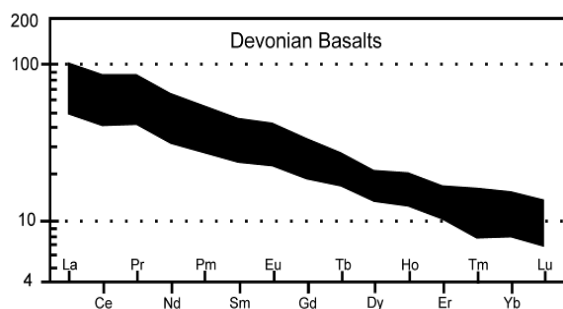
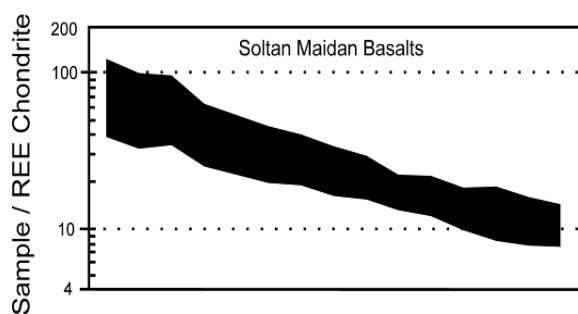
### ژئوشیمی

در نمودار Zr/TiO<sub>2</sub> در برابر Nb/Y (Winchester and Floyd, 1977) نمونه‌های بازالتی دونین منطقه در محدوده بازالت‌های آلکالن و نمونه‌های اردوویسین و سیلورین در هر دو محدوده آلکالن و ساب‌آلکالن، با تمایل بیشتر به سمت آلکالن قرار می‌گیرد (شکل ۴). قرارگیری نمونه‌های اردوویسین و سیلورین در محدوده بیان شده می‌تواند بیانگر ماهیت انتقالی تا کمی آلکالن آنها باشد. حضور به نسبت بالای تیتانیم با مقادیر

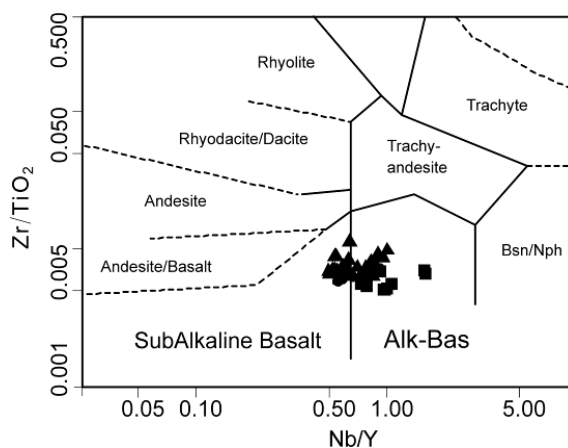
متوسط ۲/۹۱، ۲/۴۵ و ۳/۱۳ درصد وزنی به ترتیب در بازالت‌های سازندهای قلی، سلطان‌میدان، پادها و خوش‌یلاق، با ماهیت آنها به طور کامل سازگار است. به طوری که بازالت‌های دونین که از نوع آلکالن است نسبت به سایر بازالت‌های منطقه حاوی مقادیر تیتانیم بالاتری نیز هست. همچنین، مقادیر نه چندان بالای Co، MgO و Ni در نمونه‌های منطقه (جدول ۱) بیانگر توقف این ماگماها در آشیانه‌های ماگمایی و تحمل تبلور تفریقی، قبل از صعود نهایی آنها به سطح

منطقه، از نسبت‌های عناصر کمیاب آرایه شده توسط Hart و همکاران (۱۹۸۹) استفاده شده است. بر این اساس، نسبت  $La/Nb$  بیشتر از ۱/۵ و  $La/Ta$  بیشتر از ۲۲ نشان‌دهنده آرایش ماگما با ترکیبات پوسته‌ای است. پایین‌تر بودن این نسبت‌ها از مقادیر آرایه شده برای ماگماهای بازالتی آرایش یافته (جدول ۱) نشان‌دهنده عدم آرایش یا آرایش بسیار ناچیز ماگمای تشکیل‌دهنده سنگ‌های منطقه با ترکیبات پوسته‌ای در حین صعود است.

شکل ۴- طبقه‌بندی ژئوشیمیایی نمونه‌های منطقه بررسی شده بر اساس نمودار طبقه‌بندی  $Zr/TiO_2$  در برابر  $Nb/Y$  (Winchester and Floyd, 1977). در تمامی شکل‌ها بازالت‌های سازند قلی با نشانه ●، بازالت‌های سلطان‌میدان با نشانه ▲ و بازالت‌های دونین با نشانه ■ نمایش داده شده‌اند.



زمین است. الگوی بهنجارسازی عناصر کمیاب خاکی سنگ‌های منطقه نسبت به مقادیر کندریتی Nakamura (۱۹۷۴) نشان‌دهنده غنی‌شدگی تمامی این عناصر نسبت به مقادیر کندریتی است (شکل ۵). الگوی تقریباً مشابه نمونه‌های منطقه بر روی این نمودار می‌تواند بیانگر شباهت‌هایی در زایش و تحول ماگمای تشکیل‌دهنده این بازالت‌ها باشد. به منظور تعیین میزان آرایش پوسته‌ای و نقش آن در تحول ماگماهای تشکیل‌دهنده سنگ‌های



شکل ۵- نمودارهای بهنجار شده نمونه‌های منطقه شمال شاهرود نسبت به مقادیر کندریتی (Nakamura, 1974)

بخشی، روند متفاوت و نیز نسبت بیشتر این عناصر نسبت به Zr را می‌توان به علت درجه ذوب کمتر ماگمای اولیه تشکیل‌دهنده بازالت‌های دونین نسبت به بازالت‌های اردوویسین و سیلورین دانست. همچنین، استفاده از نسبت مقادیر Zr در برابر Nb امکان تعیین میزان غنی‌شدگی محل منشأ این بازالت‌ها را فراهم می‌سازد. به عقیده Sun و McDonough (۱۹۸۹) نسبت Zr به Nb کمتر از ۱۵/۷۱ در بازالت‌ها، بیانگر منشأگیری آنها از یک منبع غنی‌شده است. با توجه به کمتر بودن این نسبت در نمونه‌های منطقه از مقدار بیان شده، بنابراین، یک منشأ اولیه غنی‌شده برای ماگمای سازنده آنها قابل تصور است (شکل ۶-F). محل قرارگیری نمونه‌های منطقه بر روی شکل ۶ نیز تأیید کننده منشأ اولیه غنی‌شده‌تر بازالت‌های دونین نسبت به بازالت‌های قدیمی‌تر منطقه است.

به منظور تعیین جایگاه زمین‌ساختی ماگمای سازنده بازالت‌های منطقه، از نمودارهای Pearce و Norry (۱۹۷۹) و Agrawal و همکاران (۲۰۰۸) استفاده شده است. همان‌گونه که در این نمودارها دیده می‌شود (شکل ۷) تمامی نمونه‌های بازالتی اردوویسین تا دونین منطقه بررسی شده، در قلمرو محیط درون ورقه‌ای و به طور ویژه در جایگاه کافت درون قاره‌ای قرار می‌گیرد. قرارگیری بازالت‌های منطقه در محدوده درون قاره‌ای با ماهیت ماگمای تشکیل‌دهنده این سنگ‌ها و نیز نوع کانی‌های مشاهده شده در مطالعات پتروگرافی کاملاً سازگار است.

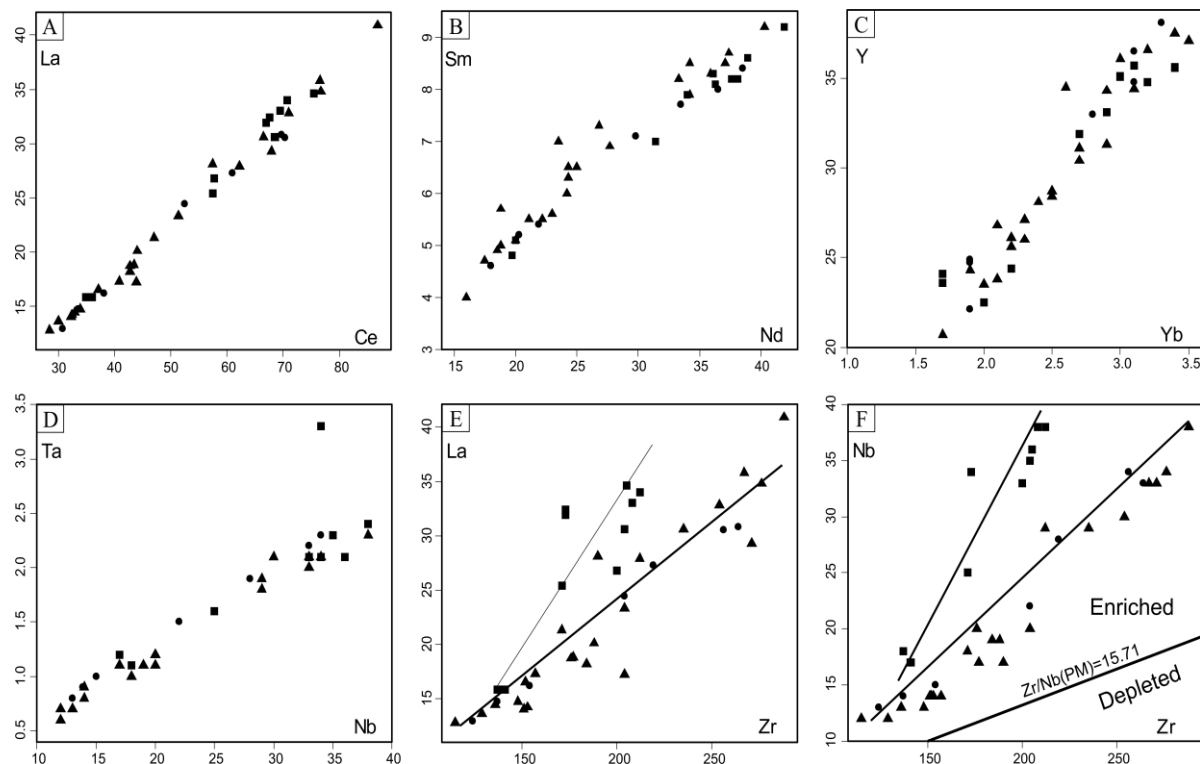
نظر به این که تشکیل ماگماهای بازالتی در محیط‌های درون ورقه‌ای به طور معمول ناشی از بالا آمدن و ذوب بخشی ستون‌های گوشته‌ای است؛ بنابراین، ارتباط نمونه‌های منطقه با این ستون‌ها بر اساس نسبت‌های Nb/Y در برابر Zr/Y (Fitton *et al.*, 1997) بررسی شد. همان طور که

به منظور نمایش ویژگی‌های ژئوشیمیایی محل منشأ و نحوه ارتباط زایشی نمونه‌های منطقه با یکدیگر، از نمودارهای دو متغیره‌ای که نشان‌دهنده نسبت‌های عناصر کمیاب ناسازگار است، استفاده شد (شکل ۶). به دلیل این که نمونه‌های منطقه متحمل دگرسانی شده‌اند، سعی شده است از عناصر کمیابی استفاده شود که در برابر فرآیندهای ثانویه کمترین تحرک را داشته و نتایج قابل قبولی را ارائه دهد. همان‌گونه که در شکل ۶ (A تا F) دیده می‌شود، تغییرات جفت عناصر Sm-La، Ce-Nd، Ta-Nb و Y-Yb که در فازهای جامد دارای ضرایب جدایش نزدیک به یکدیگر است، بر روی نمودارهای تغییرات روندی تقریباً خطی نشان می‌دهد. با توجه به نقش نداشتن و یا نقش بسیار ناچیز آلایش پوسته‌ای در تحول ماگماهای تشکیل‌دهنده سنگ‌های منطقه و نیز اینکه فرآیندهایی نظیر تبلور تفریقی قادر به ایجاد تغییرات در نسبت‌های یاد شده نیست، روندهای خطی مشاهده شده را باید حاصل منشأگیری این ماگماها از منابعی با ویژگی‌های ژئوشیمیایی تقریباً مشابه دانست. با این وجود، بالاتر بودن مقادیر عناصر La، Ce، Nb، Nd، Sm، Ta، Y و Yb در بازالت‌های دونین (جدول ۱ و شکل ۶) می‌تواند نشان‌دهنده غنی‌تر بودن محل منشأ این بازالت‌ها و یا عمق بیشتر تشکیل آنها نسبت به بازالت‌های اردوویسین و سیلورین باشد.

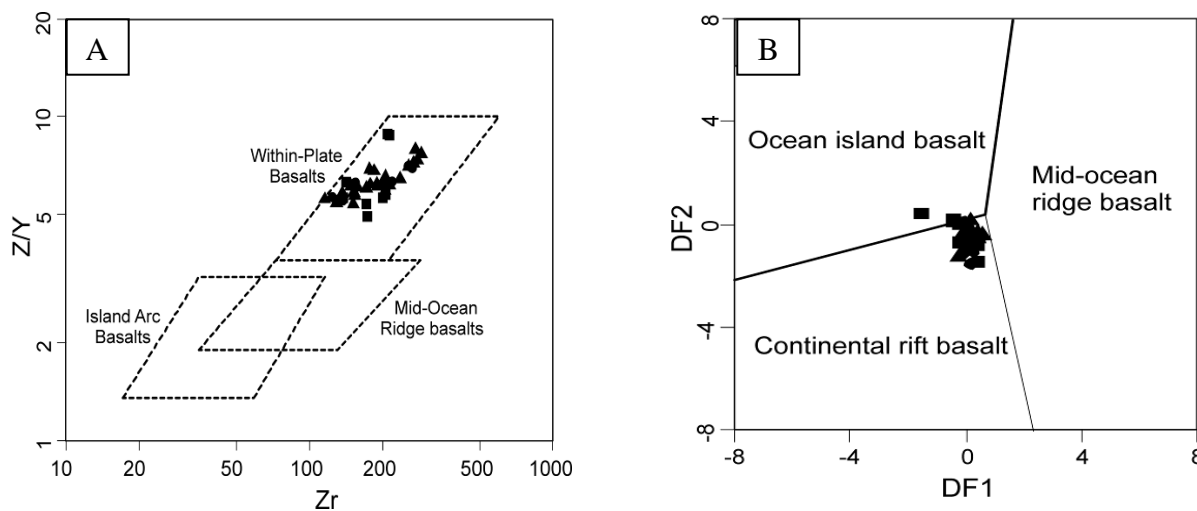
همچنین، در نمودارهای نسبت La-Zr و Nb-Zr دو روند جداگانه برای نمونه‌های منطقه قابل تشخیص است (شکل ۶-E و F). به طوری که بازالت‌های سازند قلی و نیز بازالت‌های سلطان‌میدان دارای روند تقریباً خطی و مشابهی است، اما نمونه‌های دونین روند متفاوتی را نشان می‌دهد. با توجه به ناسازگاری بیشتر La و Nb نسبت به Zr و حساسیت بیشتر آنها به درجه ذوب

منشأ ماگماهای تشکیل دهنده بازالت‌های منطقه (شکل ۹) گویای ذوب بخشی و جدایش مذاب از ستون گوشته‌ای در حال صعود در اعماق حدود ۱۰۰ تا ۱۱۰ کیلومتری است.

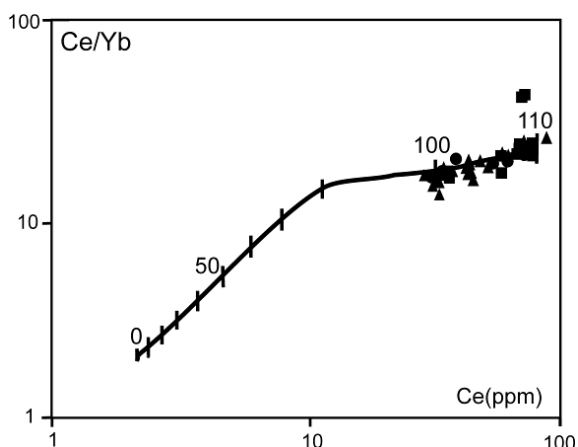
در شکل ۸ دیده می‌شود تمامی نمونه‌های منطقه در محدوده ستون‌های گوشته‌ای قرار می‌گیرد. این امر با جایگاه درون ورقه‌ای تشکیل آنها کاملاً متناسب است. همچنین، نمودار تعیین عمق محل



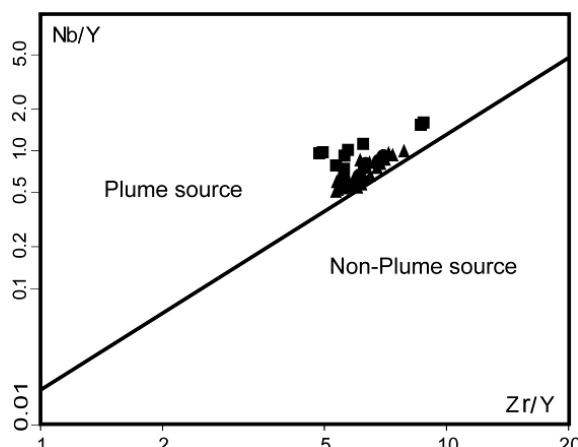
شکل ۶- نمودارهای تغییرات عناصر ناسازگار برای سنگ‌های بازالتی منطقه بررسی شده؛ مقادیر ارایه شده برای عناصر کمیاب بر حسب ppm است.



شکل ۷- موقعیت نمونه‌های بازالتی موجود در سازند قلی، بازالت‌های سلطان‌میدان و بازالت‌های دونین منطقه بررسی شده روی نمودارهای تمایز محیط زمین‌ساختی؛ (A) از Norry و Pearce (۱۹۷۹) و (B) از Agrawal و همکاران (۲۰۰۸)



شکل ۹- موقعیت بازالت‌های منطقه بر روی نمودار Ce/Yb در برابر Ce (Ellam, 1992).



شکل ۸- موقعیت بازالت‌های منطقه بر روی نمودار Nb/Y در برابر Zr/Y (Fitton et al., 1997).

### بحث

ناپیوستگی‌های متعدد همشیب و فرسایشی در کنار نبودن ناپیوستگی زاویه‌دار بین واحدهای سنگی منطقه طی اردوویسین تا دونین از شواهد حاکم بودن حرکات تکتونیک قائم (شاقولی) در این بخش از البرز است. همچنین، تعیین سن ایزوتوپی انجام شده توسط Ghavidel-Syooki و همکاران (۲۰۱۱) بر روی قطعات گرانیتی درشت و صورتی رنگ واحد کنگلومرایی درون مجموعه سلطان‌میدان، نشان‌دهنده سن تشکیل  $۴۳۴/۴ \pm ۶/۴$  میلیون سال برای توده گرانیتی اولیه است. نظر به اینکه تمام مراحل انجماد نهایی ماگمای گرانیتی در داخل زمین تا رخنمون یافتن و فرسایش و رسوبگذاری قطعات آن در سطح زمین به صورت کنگلومرا، در یک بازه زمانی کوتاه در خلال تشکیل مجموعه بازالتی سلطان‌میدان انجام شده است؛ بنابراین، وجود حرکات قائم، بالازدگی سریع و فرسایش شدید که از نشانه‌های رخداد‌های کافت‌زایی هستند، تأیید می‌شود.

تاکنون مقالات و گزارش‌های متعددی در ارتباط با ماگماتیسیم کششی درون قاره‌ای طی پالئوزوئیک زیرین-میانی در بخش‌های مختلف

به عقیده Alavi (۱۹۹۶) پهنه البرز طی پرکامبرین پایانی تا اردوویسین، یک حوضه رسوبی کم عمق سکوی قاره‌ای بوده و از اردوویسین متحمل کشش و شکستگی و رخداد کافت‌زایی شده است. بررسی‌های پژوهشگران مختلف نشان می‌دهد که ورقه ایران طی پالئوزوئیک در حاشی شمالی ابر قاره گندوانا قرار داشته است (Stampfli, 1996; Berberian and King, 1981; Ghavidel-Syooki and Owens, 2007; Nowrouzi et al., 2011; Ghavidel-Syooki et al., 2013). به عقیده Cocks و Torsvik (۲۰۰۲) پهنه‌های البرز، ایران مرکزی، سندانج-سیرجان و زاگرس طی اردوویسین پایانی تا دونین پایانی در عرض‌های جغرافیایی ۱۵ تا ۳۰ درجه جنوبی واقع بوده‌اند.

ماهیت انتقالی تا آکالن بازالت‌های منطقه و نیز جایگاه کافت درون قاره‌ای تشکیل آنها طی اردوویسین تا دونین، نشان‌دهنده برقراری و تداوم شرایط کشش قاره‌ای (کافت‌زایی) دراز مدت در این بخش از البرز است. جایگاه کششی و درون قاره‌ای تشکیل این بازالت‌ها، حضور

پالئوتتیس در بخش‌های مختلف ایران را تأیید می‌کند. به طوری که Lasemi (۲۰۰۱) سنگ‌های اردوویسین و سیلورین ایران شامل: سازندهای شیرگشت، لشکرک، قلی و نیور و هم ارزهای آنها را رخساره‌های همزمان با تشکیل کافت پالئوتتیس می‌داند. پژوهش‌های Nowrouzi و همکاران (۲۰۱۳) بر روی رسوبات سازند نیور در ایران مرکزی نیز بیانگر تشکیل آنها در ساحل حاشیه غیر فعال پالئوتتیس طی سیلورین است. Aharipour و همکاران (۲۰۱۰) نیز سازوکار تشکیل توالی رسوبی سازند پادها در منطقه بررسی شده را شامل الگوی پرشدگی در یک حوضه کافتی در حال فرونشست و در ارتباط با تشکیل پالئوتتیس دانسته‌اند.

Karimpour و همکاران (۲۰۱۰) سیلورین را زمان شروع باز شدگی پالئوتتیس، و دونین پایانی را زمان شروع فرورانش ورقه اقیانوسی پالئوتتیس به زیر ورقه توران می‌دانند. این اقیانوس در نهایت با فرورانش به سمت شمال و به زیر حاشیه جنوبی توران در تریاس فوقانی بسته شده است (Alavi, 1996; Stampfli, 1996; Bagheri and Stampfli, 2008; Karimpour et al., 2010). اگرچه، ویژگی‌های ماگماتیسم منطقه بررسی شده نشان‌دهنده تداوم شرایط کششی از اردوویسین میانی تا انتهای دونین است، اما شاید بازه زمانی تشکیل مجموعه بازالتی سلطان‌میدان (اردوویسین فوقانی تا ابتدای سیلورین پایانی) را باید نقطه عطفی در این چرخه طولانی مدت کافت‌زایی دانست. به طوری که گسترش، ضخامت و حجم زیاد این ماگماتیسم نشان‌دهنده ارتباط زمانی نزدیک تشکیل آن با مراحل آغازین کافت‌زایی پالئوتتیس است. در واقع، نیروی محرکه خروج حجم عظیم ماگمای بازالتی سلطان‌میدان را

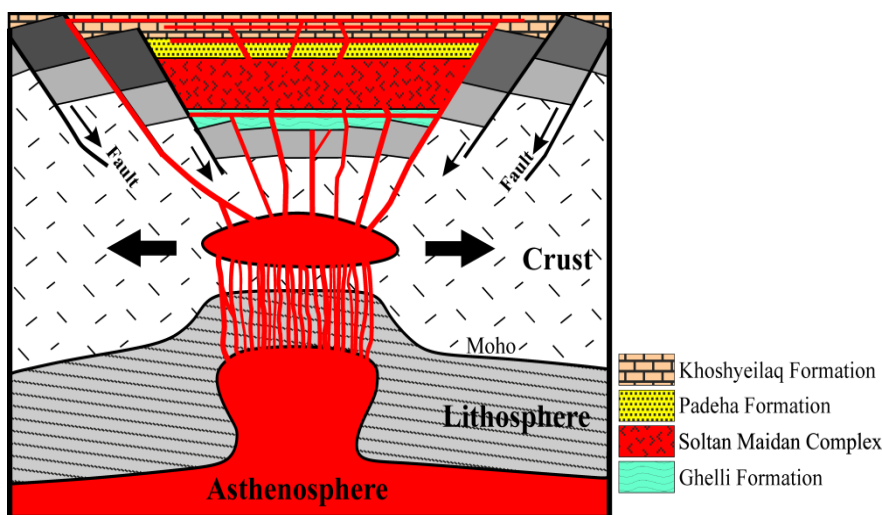
ایران نظیر: شیرگشت در طبس (Ghasemi and Derakhshi, 2008)، ابیان-سُه در کاشان (Ayati et al., 2010)، دره جهق در کاشان (Tabatabaeimanesh et al., 2008)، پل خاوند در جنوب شرق انارک (Torabi and Hashemi, 2010)، جنوب بهاباد (Balaghi et al., 2011)، تویسه-دروار در دامغان (Ghasemi and Khanalizadeh, 2012) و ابرسج در شمال شاهرود (Ghasemi and Kazemi, 2013) انتشار یافته است. مقایسه حجم و ضخامت زیاد مجموعه بازالتی سلطان‌میدان نسبت به سایر فعالیت‌های ماگمایی همزمانی که در بخش‌های مختلف ایران به وقوع پیوسته است، نشان می‌دهد که باید این مجموعه بازالتی را به عنوان حجیم‌ترین و عظیم‌ترین فعالیت ماگمایی پالئوزوئیک و به ویژه پالئوزوئیک زیرین-میانی ایران در نظر گرفت. همچنین، بررسی پالینومرف‌های موجود در میان لایه‌های شیلی مجموعه بازالتی سلطان‌میدان نشان می‌دهد که بر خلاف تصور موجود مبنی بر سن سیلورین این مجموعه که در نقشه‌های زمین‌شناسی و منابع مختلف آمده است، سن صحیح و دقیق آن اردوویسین فوقانی تا ابتدای سیلورین پایانی است.

بازشدگی و تکامل اقیانوس پالئوتتیس در شمال ایران طی پالئوزوئیک، سبب شده است که ماگماتیسم اردوویسین میانی-دونین در البرز و بسیاری از نقاط ایران مرکزی توسط افراد مختلف به عنوان مراحل کافت‌زایی این اقیانوس تفسیر شود (Alavi, Berberian and King, 1981; Bagheri and Lasemi, 2001; Stampfli, 2008; Ghasemi and Derakhshi, 2008; Karimpour et al., 2010). همچنین، ویژگی‌های رخساره‌های رسوبی و محیط تشکیل آنها در این بازه زمانی نیز تداوم شرایط کافت‌زایی



کاهش کشش حاکم بر منطقه و منشأگیری احتمالی ماگما از اعماق بیشتر و درجه کمتر ذوب بخشی دانست. از سوی دیگر، ماهیت ساب‌آلکان و انتقالی سنگ‌های بازالتی اردوویسین و سیلورین را علی‌رغم وجود محیط کشتی درون قاره‌ای و انتظار حضور ماگماهای با آلکالینیت بالا، می‌توان به کشش‌های شدیدتر پوسته، بالازدگی سریع‌تر و بروز ذوب بخشی درجه بالاتر در عمق کمتر، نسبت داد.

می‌توان در گسیختگی شدید و عمیق سنگ‌کره قاره‌ای دانست که به کاهش ناگهانی و محسوس فشار وارد بر گوشته، بالآمده‌گی ستون‌های گوشته‌ای و فراهم شدن شرایط لازم برای ذوب بخشی و ایجاد حجم زیاد ماگمای بازالتی منجر شده است (شکل ۱۰). به علاوه، آلکان‌تر بودن ماهیت بازالت‌های دونین و نیز وجود اندکی تفاوت در روند ژئوشیمیایی آنها نسبت به بازالت‌های قدیمی‌تر را می‌توان در ارتباط با



شکل ۱۰- مدل زمین‌ساختی تشکیل سنگ‌های آذرین پالئوژئیک زیرین-میانی در البرز شرقی

بررسی‌های پتروگرافی نشان‌دهنده ترکیب تقریباً مشابه و نزدیک بازالت‌های اردوویسین تا دونین در منطقه بررسی شده است. به طوری که پلاژیوکلاز و اوژیت کانی‌های اصلی این سنگ‌ها را تشکیل داده و مهم‌ترین کانی‌های فرعی شامل: الیون، آپاتیت و کانی‌های اپاک است. نمودارهای مختلف ژئوشیمیایی و تکتونماگمایی نیز نشان‌دهنده ماهیت انتقالی تا آلکان بازالت‌های اردوویسین و سیلورین و ماهیت آلکان بازالت‌های دونین است و تشکیل همه این بازالت‌ها از اعماق حدود ۱۰۰ تا ۱۱۰ کیلومتری در یک محیط کشتی کافت درون

### نتیجه‌گیری

شواهد صحرائی نشان‌دهنده ماگماتیسم فعال بازالتی در بخش غربی البرز شرقی طی اردوویسین تا دونین است. اوج این فعالیت ماگمایی طی اردوویسین فوقانی تا ابتدای سیلورین پایانی و همزمان با تشکیل مجموعه بازالتی سلطان‌میدان به وقوع پیوسته است. ضخامت و گسترش زیاد این مجموعه بازالتی در منطقه بررسی شده به حدی است که می‌توان فعالیت ماگمایی مرتبط با تشکیل آن را به عنوان شدیدترین فعالیت ماگمایی پالئوژئیک زیرین و میانی در ایران در نظر گرفت.

ماهیت آلکالن و انتقالی تا آلکالن و جایگاه کششی درون قاره‌ای آنها را باید در ارتباط با مراحل کافت‌زایی این اقیانوس دانست.

### سپاسگزاری

نگارندگان از صندوق حمایت از پژوهشگران معاونت علمی ریاست جمهوری (طرح پژوهشی شماره ۹۰۰۰۴۸۹۳) و دانشگاه صنعتی شاهرود به خاطر حمایت‌های مادی و معنوی از انجام این پژوهش تشکر می‌نمایند. همچنین، از استاد ارجمند جناب آقای دکتر محمد قوبدل سیوکی به خاطر راهنمایی‌های ارزنده در شناسایی و تعیین سن پالینومرف‌ها سپاسگزاری می‌شود.

قاره‌ای را نشان می‌دهد. همچنین، بر اساس این نمودارها بازالت‌های منطقه از منبع پلوم‌های گوشته‌ای غنی‌شده منشأ گرفته و در حین صعود متحمل آلاینش ماگمایی نشده‌اند. حضور ناپیوستگی‌های متعدد همشیب و فرسایشی و عدم وجود ناپیوستگی زاویه‌دار در توالی واحدهای سنگی اردوویسین تا دونین به همراه جایگاه کششی منطقه بررسی شده نیز شاهدی بر تکتونیک فعال منطقه و عملکرد حرکات قائم در این بازه زمانی است. با توجه به این که اقیانوس پالئوتتیس طی پالئوزوئیک زیرین و میانی در بخش‌های شمالی البرز در حال شکل‌گیری بوده است و نیز نزدیکی موقعیت جغرافیایی منطقه بررسی شده به موقعیت قدیمی این اقیانوس، فوران طولانی مدت بازالت‌های با

### منابع

- Agrawal, S., Guevara, M. and Verma, S. P. (2008) Tectonic discrimination of basic and ultrabasic volcanic rocks through log-transformed ratios of immobile trace elements. *International Geology Review* 50(12): 1057-1079.
- Aharipour, R. (2011) Microfacies, sedimentary environment and sequence stratigraphy of Devonian strata (Padeha and Khoshyeilagh formations) in the east Alborz. PhD thesis, Shahid Beheshti University, Tehran, Iran (in Persian).
- Aharipour, R., Moussavi, M. R., Mosaddegh, H. and Mistiaen, B. (2010) Facies features and paleoenvironmental reconstruction of the early to middle Devonian syn-rift volcano-sedimentary succession (Padeha formation) in the eastern-Alborz mountains, NE Iran. *Facies* 56(2): 279-294.
- Alavi, M. (1996) Tectonostratigraphic synthesis and structural style of the Alborz mountain system in northern Iran. *Journal of Geodynamics* 21(1): 1-33.
- Ayati, F., Khalili, M., Noghreyan, M. and Mackizade, M. A. (2010) The Silurian magmatism in the Abyane-Soh area (Kashan-Central Iran). *Journal of Science, University of Tehran* 35(4): 21-31 (in Persian).
- Bagheri, S. and Stampfli, G. M. (2008) The Anarak, Jandaq and Posht-e-Badam metamorphic complexes in Central Iran: new geological data, relationships and tectonic implications. *Tectonophysics* 451: 123-155.
- Balaghi, Z., Sadegheian, M. and Ghasemi, H. (2011) Petrogenesis of the lower Paleozoic igneous rocks, south of Bahabad (Bafq, Central Iran): implication for rifting. *Petrology* 1(4): 45-64 (in Persian).
- Berberian, F. and King, G. C. P. (1981) Towards a paleogeography and tectonic evolution of Iran. *Canadian Journal of Earth Sciences* 5(2): 101-117.
- Cocks, L. R. M. and Torsvik, T. H. (2002) Earth geography from 500 to 400 million years ago: a faunal and palaeomagnetic review. *Journal of Geological Society of London* 159(6): 631-644.

- Deyhimi, M. (2013) Petrology and geochemistry of Devonian basic magmatism in Padha and Khoshyeilagh formations, north of Shahrood. MSc thesis, Shahrood University of Technology, Shahrood, Iran (in Persian).
- Ellam, R. M. (1992) Lithospheric thickness as a control on basalt geochemistry. *Geology* 20(2): 153-156.
- Fitton, J. G., Saunders, A. D., Norry, M. J., Hardarson, B. S. and Taylor, R. N. (1997) Thermal and chemical structure of the Iceland plume. *Earth and Planetary Science Letters* 153(3): 197-208.
- Ghasemi, H. and Derakhshi, M. (2008) Mineralogy, geochemistry and role of olivine mechanical separation in generation of lower Paleozoic igneous rocks in Shirgesht area, NW of Tabas, Central Iran. *Iranian Journal of Crystallography and Mineralogy* 16(2): 207-224 (in Persian).
- Ghasemi, H. and Kazemi, Z. (2013) Tectonic setting and source characteristics of the Abarsej formation igneous rocks (upper Ordovician), eastern Alborz, north of Shahrood. *Iranian Journal of Crystallography and Mineralogy* 21(2): 347-370 (in Persian).
- Ghasemi, H. and Khanalizadeh, R. (2012) Toye-Darvar A-type granitoid southwest of Damghan: constraints on the Paleotethyan extensional basin of lower Paleozoics in Alborz. *Iranian Journal of Crystallography and Mineralogy* 20(1): 3-24 (in Persian).
- Ghavidel-Syooki, M. and Khandabi, M. (2013) Palynostratigraphy and paleogeography of Lashkarak and Ghelli formations in Abarsej area, northwest of Shahrood. *Journal of Stratigraphy and Sedimentology Researches* 28(4): 35-58 (in Persian).
- Ghavidel-Syooki, M. and Owens, B. (2007) Palynostratigraphy and palaeogeography of the Padeha, Khoshyeilagh, and Mobarak formations in the eastern Alborz range (Kopet-Dagh region), northeastern Iran. *Revue de micropaléontologie* 50(1): 129-144.
- Ghavidel-Syooki, M., Hassanzadeh, J. and Vecoli, M. (2011) Palynology and isotope geochronology of the upper Ordovician-Silurian successions (Ghelli and Soltan Maidan formations) in the Khoshyeilagh area, eastern Alborz range, northern Iran; stratigraphic and palaeogeographic implications. *Review of Palaeobotany and Palynology* 164(3-4): 251-271.
- Hart, W. K., Wolde, G. C., Walter, R. C. and Mertzman, S. A. (1989) Basaltic volcanism in Ethiopia: constraints on continental rifting and mantle interactions. *Journal of Geophysical Research* 94(B6): 7731-7748.
- Jafarian, A., R. Emami, M. H. and Vosoughi-Abedini, M. (2010) Major elements petrology and geochemistry of Soltan Maidan basaltic Suite. *Journal of Applied Geology* 5(4): 1-19 (in Persian).
- Karimpour, M. H., Stern, C. R. and Farmer, G. L. (2010) Zircon U-Pb geochronology, Sr-Nd isotope analyses, and petrogenetic study of the Dehnow diorite and Kuhsangi granodiorite (Paleo-Tethys), NE Iran. *Journal of Asian Earth Sciences* 37(4): 384-393.
- Kazemi, Z. (2013) Petrology, geochemistry and characteristics of source's of Ordovician igneous rocks in Abarsaj formation, Shahrood. MSc thesis, Shahrood University of Technology, Shahrood, Iran (in Persian).
- Lasemi, Y. (2001) Facies analysis, depositional environments and sequence stratigraphy of the Upper Pre-Cambrian and Paleozoic rocks of Iran. Geological Survey of Iran, Tehran (in Persian).
- Nakamura, N. (1974) Determination of REE, Ba, Fe, Mg, Na and K in carbonaceous and ordinary chondrites. *Geochimica et Cosmochimica Acta* 38(5): 757-775.
- Nowrouzi, Z., Moussavi-Harami, R., Mahboubi, A., Mahmudy Gharai, M. H. and Ghaemi, F. (2014) Petrography and geochemistry of Silurian Niur sandstones, Derenjal mountains, east Central Iran: implications for tectonic setting, provenance and weathering. *Arabian Journal of Geosciences* 7(7): 2793-2813.

- Pearce, J. A. and Norry, M. J. (1979) Petrogenetic implications of Ti, Zr, Y and Nb variations in volcanic rocks. *Contributions to Mineralogy and Petrology* 69(1): 33-47.
- Sahami, T. (2012) Geology and petrogenesis of Soltan Maidan basalts in Negarman and Abasej areas, north of Shahrood. MSc thesis, Shahrood University of Thechnology, Shahrood, Iran (in Persian).
- Sengör, A. M. C., Altmer, D., Cin, A., Ustaömer, T. and Hsü, K. J. (1988) Origin and assembly of the Tethyside orogenic collage at the expense of Gondwana land. *Geological Society of London Special Publication* 37: 119-181.
- Stampfli, G. M. (1996) The intra-Alpine terrain: a Paleo-Tethyan remnant in the Alpine variscides. *Eclogae Geologicae Helveticae* 89(1): 13-42.
- Stocklin, J. (1968) Structural history and tectonics of Iran: a review. *American Association of Petroleum Geologists* 52(7): 1229-1258.
- Sun, S. S. and McDonough, W. F. (1989) Chemical and isotopic systematics of oceanic basalts: implications for mantle composition and processes. In: *Magmatism in the ocean basins* (Eds. Saunders, A. D. and Norry, M. J.) *Special Publication* 42(1): 313-345. Geological Society, London
- Tabatabaeimanesh, S. M., Mirlouhi, A. S., Safaei, H. and Torabi, G. (2008) Geochemistry and tectonic setting of early Paleozoic volcanic rocks in Jahagh valley (south of Kashan). *Journal of Science (Kharazmi University)* 8(3): 241-254 (in Persian).
- Torabi, G. and Hashemi, F. (2010) Petrology of Devonian basalts from Pol-e-Khavand area (SE of Anarak, NE of Isfahan). *Petrology* 1(3): 29-46 (in Persian).
- Winchester, J. A. and Floyd, P. A. (1977) Geochemical discrimination of different magma series and their differentiation products using immobile elements. *Chemical Geology* 20(4): 325-342.

## **Ordovician-Devonian magmatism in the north of Shahrood: implication for long lived rifting of Paleotethys in eastern Alborz**

**Morteza Derakhshi and Habibollah Ghasemi \***

Department of Petrology and Economic Geology, Faculty of Earth Sciences,  
Shahrood University of Technology, Shahrood, Iran

### **Abstract**

One of the characteristics of the Ordovician to the Devonian rock units in the north of Shahrood is the presence of high volumes of igneous rocks with basaltic composition as dyke and sill. The greatest volume of these rocks are widespread in Soltan Meydan Basaltic Complex with a thickness of about 1000 m as numerous basaltic lava flows, basaltic agglomerates, tuffs and some sedimentary intercalations which have been formed during the upper Ordovician to the early late Silurian. Active extensional tectonic prevailing on the area and violent detaching in continental lithosphere in this interval time led to sudden decompression on the rising mantle plumes, providing conditions for extensive partial melting and generation of high volumes of basaltic magma. Geochemical evidences show that the produced magmas have transitional to alkaline nature and generated from a rising enriched mantle plume source in an extensional intracontinental rift setting. The nature and tectonic setting of this basaltic magmatism during the lower-middle Paleozoic indicate continuation of long lived extensional movements related to the earlier stages of Paleotethys rifting in the north of Iran.

**Key words:** Basalt, Lower-Middle Paleozoic, Intracontinental rift, Paleotethys, Alborz, Shahrood

---

\* h-ghasemi@shahroodut.ac.ir